

이원실 · 문동진
(광운대학교)김선태 · 서일석
(대전공업대학교) (서울산업대학교)A study on the Properties of $In_{1-x}Ga_xAs$

Grown by the TGS Method

W.S. Lee, D.C. Moon
(Kwangju University)S.T. Kim
(Daejon National Univ. of Tech.) (Seoul Polytech. Univ.)
Y.S. Suh

Abstract

The III-V ternary alloy semiconductor $In_{1-x}Ga_xAs$ were grown by the Temperature Gradient Solution(TGS) method within the composition range of $0.60 \leq x \leq 0.98$.

The electrical properties were investigated by the Hall effect measurement with the Van der Pauw method in the temperature range of $90\sim300K$. $In_{1-x}Ga_xAs$ were revealed n-type and the carrier concentration at $300K$ were in the range of $9.69 \times 10^{16} cm^{-3}$ ~ $7.49 \times 10^{17} cm^{-3}$. The resistivity was increased and the carrier mobility was decreased with increasing the composition ratio.

The optical energy gap determined by optical transmission were $20\sim30meV$ lower than theoretical values on the basis of absorption in the conduction band tail and it was decreased with increasing the temperature by the Varshni rule.

In the photoluminescence of undoped $In_{1-x}Ga_xAs$ at $20K$, the main emission was revealed by the radiative recombination of shallow donor(Si) to acceptor(Zn) and the peak energy was increased with increasing the composition, X.

The diffusion depth of Zn increase proportionally with the square root of diffusion time, and the activation energy for the Zn diffusion into $In_{0.10}Ga_{0.90}As$ was $2.174eV$ and temperature dependence of diffusion coefficient was $D = 87.29 \exp(-2.174/K_B T)$. The Zn diffusion p-n $In_{1-x}Ga_xAs$ diode revealed the good rectifying characteristics and the diode factor $\beta \approx 2$.

The electroluminescence spectrum for the Zn-diffusion p-n $In_{0.10}Ga_{0.90}As$ diode was due to radiative recombination between the electron trap level($\sim 140meV$) and Zn acceptor level($\sim 30meV$). The peak energy and FWHM of electroluminescence spectrum at $77K$ were $1.262eV$ and $81.0meV$, respectively.

1. 서 론

III-V족 2원화합물 반도체인 $InAs$ 와 $GeAs$ 의 해시 민물이진 3원 혼정 반도체 $In_{1-x}Ga_xAs$ 는 조성비 x . 즉 $In_{1-x}Ga_xAs$ 내에서 $GeAs$ 의 몰분율에 따라 실론에서 $0.84 \mu m$ 부터 $3.5 \mu m$ 까지의 넓은 적외선 파장영역에서 간접형의 빛을 방출 할 수 있으므로 키오노는 LED와 LD등의 발광 소자에 적합하다. 또한 실론에서 $In_{1-x}Ga_xAs$ 의 전자이동률은 $GeAs$ 의 $8500cm^2/V Sec$ 보다 크고 에너지간이 $InAs$ 의 $0.36eV$ 보다 크기때문에 10^4Hz 이상의 고주파 영역에서 실론 품적이 가능한 고속 스위치소자, MISFET, HEMT등의 고속 능리소자 저작여 용통이 가능하다. 따라서 본 연구에서는 $InAs$ 와 $GeAs$ 사이에서 조성비 x 를

0.60부터 0.98까지 변환시킨 III-V족 3원 혼정 반도체 $In_{1-x}Ga_xAs$ 결정을 TGS법으로 성장하고 그 특성을 조사함으로서 광통신 시스템의 구성을 필요로 하는 밸류소자, 수광소자 및 고속 능리소자에 적합한 $In_{1-x}Ga_xAs$ 의 물성을 재규명하고 그 광파장영역에서 동작하는 밸류소자에 용도 가능성을 탄진하고자 하였다. 즉 TGS법으로 성장시킨 범그 $n-In_{1-x}Ga_xAs$ 결정의 X-RD의 이해, 와 Vegard법칙으로 부터 조성비 x 를 구하고 $90K$ 에서 $300K$ 의 온도별위에서 Van der Pauw법으로 Hall효과를 측정하여 전기적 특성과 광투과도를 측정하여 광학적 특성을 조사하고 $In_{1-x}Ga_xAs$ 의 Zn 확산 특성을 조사하였다.

2. 실험 방법

HB법으로 성장된 $GeAs$ 를 Ge 의 공급원으로 사용하여 TGS법으로 $In_{1-x}Ga_xAs$ 를 성장시켰다. 그에 따른 조성비 x 는 X-RD를 사용하여 각자상수 a_0 를 구하고 Vegard 법칙에 적용하여 조성비 x 를 구하였다. 성장된 결정을 다이아몬드 절단기로 두께 $0.65mm$ 인 웨이퍼로 절단하여 lapping과 polishing을 하였다. 울효과를 측정하기 위해 크기 $8.3 \times 0.4mm$ 의 웨이퍼를 처리하여 4단계 세척과 stop-scratch-stop순으로 에칭하였다. stop과정과 etch과정에 사용한 용액은 $NH_4OH(10ml) + H_2O(15ml)$ 와 $NH_4OH(2drop) + H_2O_2(2drop) + H_2O(200ml)$ 었으며 각과정에서 에칭 시간은 5초로 하였다. 그후 전극을 입히기 위해 $Au-(5\%)Zn$ 을 진공 증착한후 $450^\circ C$ 1분간 아르곤 분위기에서 열처리 한후 금줄을 In 으로 날개하여 가변용자온 장치에 부착하였다. 광투과도 측정을 위해 두께를 $150\sim170\mu m$ 으로 만난 후 세척과 에칭을 한후 가변용자온 장치에 부착한후 형성스핀 쿨프의 벽색광을 사용하여 sample을 통과한 투과광을 $f=3/4m$ 인 분광기를 사용하여 분광하고 광증배관으로 검출하였다. 광루미네스цен스 측정을 위해 피질 6328A인 HeNe 라이저($15mW$)를 사용하여 분광기로 분광하고 광증배관으로 검출한후 툭인 광복기로 중복시키기 기록기에 기록하였다. Zn를 $In_{1-x}Ga_xAs$ 에 확산시키기 위해 $1.5mg$ 의 Zn 과 $1.6mg$ 의 As 를 직경 $6mm$ 의 석영관에 시료와 함께 넣고 $10^{-5} Torr$ 를 진공 불인한 후 전기로에 담아 확산온도 $550\sim750^\circ C$, 확산시간 15~60분까지 변환시켰다. p-n $In_{1-x}Ga_xAs$ 통증 진합 다이오드를 제작하기 위해 시료 및 면과 사방측면을 깊이 날카 n형과 p형 면에서 $Au-(5\%)Zn$ 과 $In-(5\%)Zn$ 핀글을 진공 증착한 후 알곤 분위기에서 $450^\circ C$ 1분간 열처리하였다. 전극이 형성된 시료를 $0.5 \times 0.5 \times 0.15mm$ 크기로 절단하여 $T0-5641$ 에 In 으로 부착하고 1 mil의 금줄로 In 으로 막하여 다이오드를 제작하였다. 제작된 다이오드의 전류-전압 특성을 조사하였고, 반도체 국선 추적기로 오실로스코프 화면에 나타난 특성곡선을 사진기로 활용하였다. 순방향 전류-전압 특성을 절전인원과 전압계, 일체트로미터를 전류계로 사용하여 실론에서 측정하였다. 제작된 p-n $In_{1-x}Ga_xAs$ 다이오드의 전기루미네스цен스를 측정하기 위해 온도조절을

기반장치에 부착하여 전압을 인가하여 나오는 광을 분광기로 분광하고 광증배관으로 검출하여 X-Y기록기에 기록하였다.

3. 결과 및 고찰

3-1. TGS법으로 성장한 $In_{1-x}Ga_xAs$ 결정의 성질

TGS법에 의한 $In_{1-x}Ga_xAs$ 결정의 성장 조건은 In과 GaAs를 1000°C인 고온부에 놓고 In 내부의 온도 구배를 20°C/m로 맞춘 후 605°C의 저온부에 As를 놓아 결점을 성장하였다. 성장된 결정은 $In_{1-x}Ga_xAs$ 결정은 X선 회절기를 이용하여 각자 실수 ϵ 와 Vegard 법칙에 의해 조성비 x 를 구하였다. 성장된 $In_{1-x}Ga_xAs$ 는 Zincblende구조였고, $In_{1-x}Ga_xAs$ 의 Ga량이 증가함에 따라 각회절 피크들은 회절각 20°가 증가하는 쪽으로 이동하였다. 조성비는 GaAs의 양에 따라 0.60부터 0.98까지 변화됨을 알았다. 또한 EDXS 페인트도 조성비 x 가 증가함에 따라 In의 피크가 길소함과 동시에 Ga의 피크가 증가하였으며, 조성비 x 가 1인 GaAs에서는 In피크가 검출되지 않았다. $In_{1-x}Ga_xAs$ 의 조성비 x 가 0인 다결정체 InAs의 EPD $1.01 \times 10^6 \text{ cm}^{-2}$ 이었고, 조성비 x 가 1인 다결정체 GaAs의 EPD는 $1.14 \times 10^6 \text{ cm}^{-2}$ 이었다. 즉, $In_{1-x}Ga_xAs$ 의 조성비 x 에 따른 EPD는 x 가 0.60 이상에서 점차 감소하는데 이는 x 의 증가와 더불어 $In_{1-x}Ga_xAs$ 내에서 In의 치환량이 감소 되므로 원자배열상의 disorder가 감소하여 결정성이 개선되는 것으로 여겨진다.

3-2. $In_{1-x}Ga_xAs$ 의 전기적 성질의 온도 의존성

TGS법으로 성장한 불순물이 첨가되지 않은 $In_{1-x}Ga_xAs$ 는 Van der Pauw법에 의한 온도 효과 측정에서 n 형을 나타냈으며 300K에서 측정된 비저항은 조성비 x 가 증가함에 따라 $3.31 \times 10^3 \Omega^{-\text{cm}}$ 에서 $7.42 \times 10^2 \Omega^{-\text{cm}}$ 로 증가하였고, 캐리어의 이동도는 $8569 \text{ cm}^2/\text{V}\cdot\text{sec}$ 에서 $690 \text{ cm}^2/\text{V}\cdot\text{sec}$ 로 감소하였으며 캐리어 농도는 조성비 x 에 무관하게 $3.504 \times 10^{16} \text{ cm}^{-3}$ ~ $7.488 \times 10^{16} \text{ cm}^{-3}$ 의 값을 나타냈다.

온도를 90K에서 300K로 변화시킬 때 온도가 증가함에 따라 캐리어 농도는 증가하였다. 그리고 캐리어 이동도는 170K온도 보다 낮은 영역에서는 T^{-1} 에 비례하여 감소하며, 170K 온도 보다 높은 영역에서는 T^{-2} 에 비례하여 감소하였다. 이러한 사실로부터 170K보다 낮은 온도에서는 이온화된 불순물 산란이 캐리어 이동도에 큰 영향을 미치며 170K보다 높은 온도에서는 격자 산란이 이동도에 영향을 미치게 될 수 있었다.

3-3. $In_{1-x}Ga_xAs$ 의 광학적 특성

3-3-1. 광투과에 의한 광학적 에너지 견

조성비 x 가 0인 InAs을 실온에서 측정하였을 때 2600 cm^{-1} 의 파수보다 큰 광 에너지에 대하여 완전한 흡수가 일어났으며 2400 cm^{-1} 의 파수 이하의 작은 광 에너지에 대해서는 80%의 투과율을 나타냈다. 이곳을 광 에너지로 본산하면 0.358 eV 로서 실온에 InAs의 에너지 견에 해당된다. 또한 조성비 x 가 0.95, 0.98, 1.0인 $In_{1-x}Ga_xAs$ 에 대하여 90K부터 300K의 온도 범위에 광 투과도를 측정하였다. 각온도에서 $In_{1-x}Ga_xAs$ 의 기초 흡수단 부근에서는 광의 흡수와 투과가 분명하게 구별되었으며 InAs의 경우와 같은 방법으로 완전한 흡수가 일어난 곳을 광학적 에너지 견으로 하였을 때 온도가 증가함에 따라 기초 흡수단은 절파장 쪽으로 이동하였다. 온도에 따른 반도체 에너지 견의 변화는 Varshni에 의하여 $E_0(T) = E_0(0) - \alpha T^2 / (b + T^2)$ 로서 나타내어진다. 0K로 외삽하여 구하여진 광학적 에너지 견은 조성비 x 가 각각 0.95, 0.98, 1.0에 대하여 1.385 eV , 1.446 eV , 1.522 eV 였고, 실수 a, b 값은 5.86×10^{-4} 과 208.17 , 6.50×10^{-4} 과 218.54 및 8.02×10^{-4} 과 966.380 이었다.

3-3-2. 광 투미네센스 측정

$In_{1-x}Ga_xAs$ 의 조성비 x 가 0.6에서 0.98로 증가할 때 따라 광 투미네센스 스펙트럼에 피크들은 점차 단파장 쪽으로 이동하였으므로 이때 피크 에너지는 1.076eV에서 1.374eV로 증가하고, 조성비 x 가 1인 GaAs에서는 불순물이 첨가되지 않은 GaAs에 대비하여 암리저인 1.513eV, 1.490eV 및 1.452eV에서 피크가 나타났다.

3-4. $In_{1-x}Ga_xAs$ 내에서 Zn의 확산 성질

조성비 x 가 0.9인 $In_{0.10}Ga_{0.90}As$ 에 650°C에서 60분동안 Zn을 확산 시켰을 때 환락적 작색에 의한 Zn 확산 길이를 측정하였을 때 Zn의 확산 길이는 4.4μm이고, 확산면은 구일하였으며 Zn 확산 길이는 확산 시간의 제곱근에 선형적으로 비례하였다. Zn의 확산에 필요한 활성화 에너지는 $In_{0.10}Ga_{0.90}As$ 에 대하여 2.174eV이었고, 확산계수의 온도 의존성은 $D = 87.29 \exp(-2.714/k_B T) \text{ cm}^2/\text{sec}$ 이었다.

3-5. p-n $In_{1-x}Ga_xAs$ 다이오드의 전기·광학적 특성

불순물이 첨가되지 않은 캐리어 농도 $7.488 \times 10^{16} \text{ cm}^{-3}$ 인 n형 $In_{0.10}Ga_{0.90}As$ 에 Zn을 650°C에서 30분동안 확산시켜 제작한 p-n $In_{0.10}Ga_{0.90}As$ 다이오드의 정류특성도 상수도 다이오드 방정식 $I = I_0 \exp(E_V/k_B T)$ 에 만족하였으므로 다이오드 실수 R 는 2이었다. p-n 다이오드의 전도전류는 주로 불순물 원자와 결점 내에 존재한 결합들이 공간 전자 영역 내에 형성하는 트랜зи션 위에 통한 재결합 및 공간 전자 영역을 타밀린 캐리어들의 재결합에 의한 것임을 알 수 있었다. 77K온도에서 p-n 다이오드에 $5 \times 10^4 \text{ Ampere}$ 의 전류를 주입시켜 측정한 전기 투미네센스 스펙트럼에서 피크자는 $1.262 \text{ eV} (\lambda = 9820 \text{ Å})$ 이었고, 스펙트럼 강도의 이되는 곳에서 스펙트럼 폭은 640Å이었으며 반전자 폭은 81.0 meV 이었다. 측정된 전기 투미네센스 스펙트럼이 도나 억선터 쌍 사이의 복사 재결합에 의한 것이라면 재결합에 참여하는 억선터는 $In_{1-x}Ga_xAs$ 내에서 약 30meV의 이온화 에너지를 갖고 있는 Zn 억선터임을 알 수 있다.

4. 결 론

위와같은 실험에 의해 TGS법으로 성장시킨 $In_{1-x}Ga_xAs$ 결정은 균질한 조성을 가지며, 전위밀도가 낮아서 전기적·광학적 성질로부터 광섬유를 이용한 광 통신용 장파장 발광소자·수광소자 및 고속 논리소자 등에 활용 가능할을 알 수 있었다.

참 고 문 헌

- C.J. Nuese; J. Electronic Materials, vol.6, p.253, 1977.
- A.E. Taylor and E. Fortin; Can. J.Phys., vol.48, p.1874, 1970.
- R.E. Nahory, M.A. Pollack and J.C. Dewitt; Appl. Phys. Lett., vol. 25, p.146, 1974.
- A.D. Hulseman and C.G. Fonstad; J. Electrochem Soc., vol.132, p.2969, 1985.
- E.G. Manning, M.A. Littlejohn, J.A. Hutchby and E.M. Oakley; Rev. Sci. Instr., vol.43, p.324, 1972.
- N.Chand, T. Henderson, J. Klem, W.T. Masselink, R. Fischbeck, Y.C. Chang and H. Morkoc; Phys. Rev. B, vol.30, p.4481, 1984.
- F. Lukes; Phys. Status Solid(b), vol.84, p.k113, 1977.
- Y. P. Varnish; Physica, vol.34, p.149, 1976.
- M. C. Wu, Y.K. Su, C. Y. Cheng and Y. Y. Cheng; J. Appl. Phys., vol.58, p.4317, 1985.
- M.D. Zahari and B. Tuck; J. Phys. D : Appl. Phys., vol.18, p.1565, 1985.

11. S. M. Sze: "Semiconductor Devices-Physics and Technology". (John Wiley & Sons, New York, 1985), P. 70.
12. M. H. Philkohn: "Handbook on Semiconductor", vol.4, (Series ed. by T.S. Moss). (North-Holland, New York, 1981), p. 539.
13. Pons, A. Mirces, A. Mitonneau and G.M. Martin: Defects and Radiation Effects in Semiconductor, 1978, Int. Phys. Conf., Ser. Vol.46, p.352, 1979.

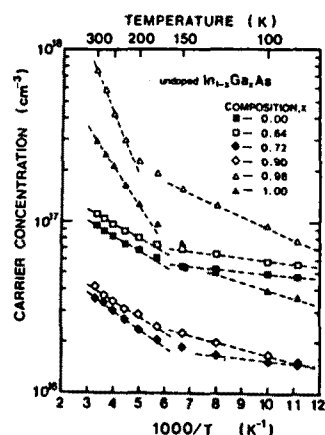


그림 1. 불순물이 절가되지 않은 $In_{1-x}Ga_xAs$ 의 조성비에 따른 캐리어 농도의 온도 의존성.

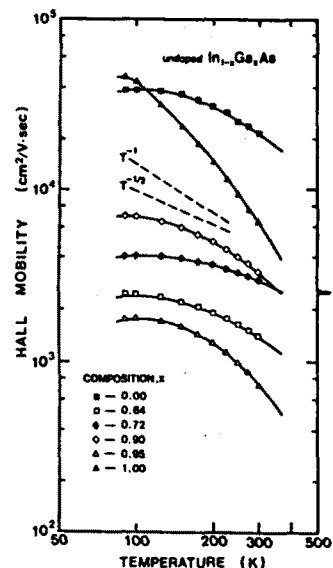


그림 2. 불순물이 절가되지 않은 $In_{1-x}Ga_xAs$ 의 조성비에 따른 이동도의 온도 의존성.

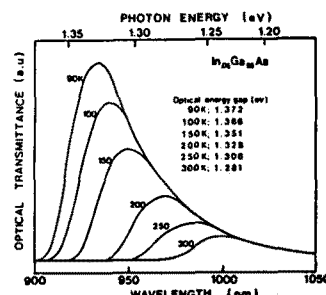


그림 3. $In_{0.05}Ga_{0.95}As$ 의 온도 변화에 따른 광투과도

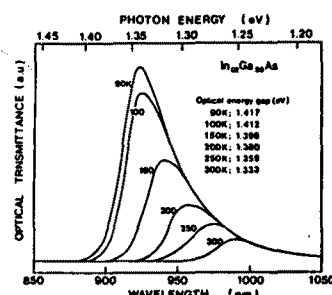


그림 4. $In_{0.01}Ga_{0.98}As$ 의 온도 변화에 따른 광투과도

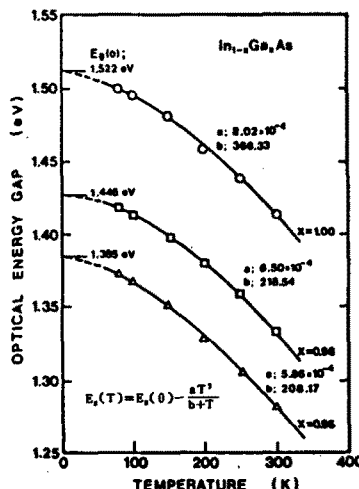


그림 5. $In_{1-x}Ga_xAs$ 의 조성비에 따른 광학적 에너지 격의 온도 의존성.

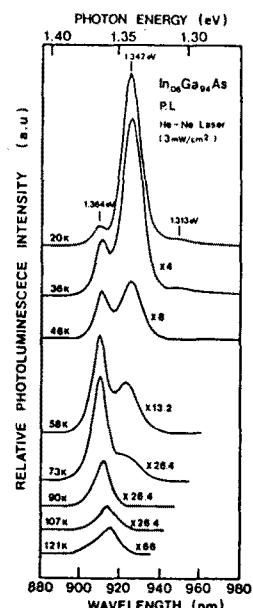


그림 6. 흰 손물이 점 가되지 않은 $In_{0.6}Ga_{0.4}As$ 에 대한
일반 루미네스цен스 스펙트럼의 온도 의존성.

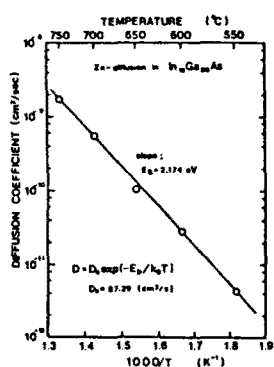


그림 7. $In_{0.6}Ga_{0.4}As$ 내에서 Zn 확산 계수의 온도
의존성.

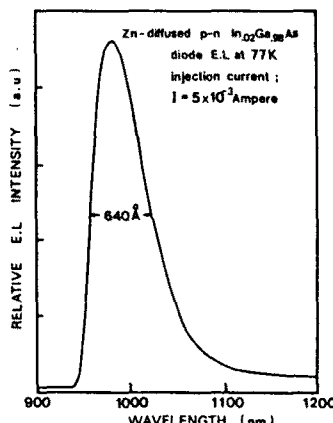


그림 8. Zn가 확산된 p-n $In_{0.6}Ga_{0.4}As$ 다이오드에
대하여 77K 온도에서 측정한 전류 주입
광선 스펙트럼.